

Dipartimento di Ingegneria industriale

Corso di Laurea in
INGEGNERIA AEROSPAZIALE

TITOLO DELLA RELAZIONE

Relazione di tirocinio curriculare in
Meccanica del Volo

Tutor Accademico

Prof. Nome Cognome

Studente

Nome Cognome

Tutor Aziendale

Nome Cognome

Indice

Elenco delle figure	4
Elenco delle tabelle	6
Acronimi	8
Introduzione	11
Conclusioni	13
A Codice Matlab	14
Bibliografia	16

Elenco delle figure

1	Esempio di figura (nota: i dati numerici vanno caratterizzati con le rispettive unità di misura)	11
---	--	----

Elenco delle tabelle

1	Esempio di tabella (nota: i dati numerici vanno caratterizzati con le rispettive unità di misura)	12
---	---	----

Acronimi

ASI	Italian Space Agency
DART	Double Asteroid Redirection Test
DCO	Data Cut-Off
DSN	Deep Space Network
EME2000	Earth Mean Equator at J2000
EMO2000	Earth Mean Orbit at J2000
ESA	European Space Agency
FOV	Field of View
FPC	Flight Path Control
GNC	Guidance, Navigation and Control
G/S	Ground Station
INAF	Istituto Nazionale di Astrofisica
I/O	Input and Output
ISL	Inter-Satellite Link
JPL	Jet Propulsion Laboratory
LICIACube	Light Italian Cubesats for Imaging of Asteroids
LIDAR	Light Detection And Ranging
MA	Mission Analysis
MCC	Mission Control Center
MOC	Mission Operations Center
MONTE	Mission-analysis and Operations Navigation Toolkit Environment
NASA	National Aeronautics and Space Administration
NAV	Navigation

NEA	Near Earth Asteroid
NEO	Near Earth Object
OD	Orbit Determination
OM	Orbital Maneuver
OPNAV	Optical Navigation
PHA	Potentially Hazardous Asteroid
PL	Payload
PS	Propulsion System
RCS	Reaction Control System
RMS	Root Mean Square
RW	Reaction Wheel
S/C	spacecraft
SEP	Sun-Earth-Probe
SOC	Science Operations Center
SPA	Sun Phase Angle
SRP	Solar Radiation Pressure
SSB	Solar System Barycenter
SSDC	Space Science Data Center
STM	State Transition Matrix
TCA	Time of Closest Approach
UNIBO	University of Bologna
USO	Ultra Stable Oscillator
WVR	Water Vapour Radiometer

Introduzione

Lorem ipsum dolor sit amet, consectetur adipiscing elit, sed do eiusmod tempor incididunt ut labore et dolore magna aliqua. Ut enim ad minim veniam, quis nostrud exercitation ullamco laboris nisi ut aliquip ex ea commodo consequat [1]. Duis aute irure dolor in reprehenderit in voluptate velit esse cillum dolore eu fugiat nulla pariatur. Excepteur sint occaecat cupidatat non proident, sunt in culpa qui officia deserunt mollit anim id est laborum [2, 3]:

$$(a + b)^2 = a^2 + 2ab + b^2 \quad (1)$$

Sed ut perspiciatis unde omnis iste natus error sit voluptatem accusantium doloremque laudantium, totam rem aperiam, eaque ipsa quae ab illo inventore veritatis et quasi architecto beatae vitae dicta sunt explicabo [4–7]. Nemo enim ipsam volupta-

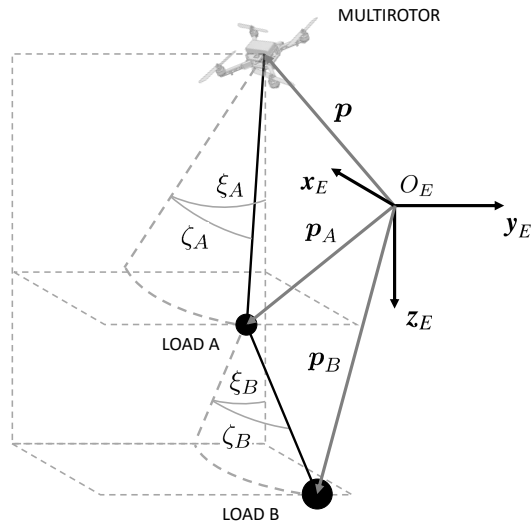


Figura 1: Esempio di figura (nota: i dati numerici vanno caratterizzati con le rispettive unità di misura)

tem quia voluptas sit aspernatur aut odit aut fugit, sed quia consequuntur magni dolores eos qui ratione voluptatem sequi nesciunt (Fig. 1). Neque porro quisquam est, qui dolorem ipsum quia dolor sit amet, consectetur, adipisci velit, sed quia non numquam eius modi tempora incident ut labore et dolore magnam aliquam quaerat voluptatem (Tab. 1).

$$\mathbf{F} = m \mathbf{a} \quad (2)$$

Ut enim ad minima veniam, quis nostrum exercitationem ullam corporis suscipit laboriosam, nisi ut aliquid ex ea commodi consequatur [8, 9]? Quis autem vel eum iure reprehenderit qui in ea voluptate velit esse quam nihil molestiae consequatur, vel illum qui dolorem eum fugiat quo voluptas nulla pariatur [10]?

Tabella 1: Esempio di tabella (nota: i dati numerici vanno caratterizzati con le rispettive unità di misura)

Parametro	Simbolo	Valore	Unità
Multirotore			
Massa	m	70	kg
Posizione del centro di gravità	$STA_{CG} = BL_{CG}$	0	m
	WL_{CG}	-0.15	m
Momenti d'inerzia	J_{11}	10.61	$kg\ m^2$
	J_{22}	10.31	$kg\ m^2$
	J_{33}	19.74	$kg\ m^2$
	J_{12}	0.037	$kg\ m^2$
	J_{13}	-0.043	$kg\ m^2$
	J_{23}	-0.003	$kg\ m^2$
Elica			
Numero di pale	n_b	2	
Raggio	R	0.5	m
Corda media aerod.	\bar{c}	0.086	m
Carico			
Massa	m_l	100	kg
Superficie di riferimento	A_l	0.785	m^2
Coeff. di resistenza (sfera)	C_{dl}	0.5	

Conclusioni

Lorem ipsum dolor sit amet, consectetur adipiscing elit, sed do eiusmod tempor incididunt ut labore et dolore magna aliqua. Ut enim ad minim veniam, quis nostrud exercitation ullamco laboris nisi ut aliquip ex ea commodo consequat. Duis aute irure dolor in reprehenderit in voluptate velit esse cillum dolore eu fugiat nulla pariatur. Excepteur sint occaecat cupidatat non proident, sunt in culpa qui officia deserunt mollit anim id est laborum.

Appendice A

Codice Matlab

Esempio di come si riporta un codice.

```
1 clc, clear
2
3 A = 1; % Max. amplitude
4 omega = 5; % Angular frequency (rad/s)
5 phi_o = 10; % Initial phase (rad)
6 delta = 1/sqrt(2); % Damping coefficient (1/s)
7
8 t = linspace(0,10,1000);
9 y = A*exp(-delta*t).*cos(omega*t + phi_o);
10
11 plot(t,y, 'LineWidth', 1.5)
12 grid on
13 xlabel('time (s)')
14 ylabel('system response')
```

Bibliografia

- [1] Guerrero, M., Mercado, D., Lozano, R., García, C., Passivity based control for a quadrotor UAV transporting a cable-suspended payload with minimum swing, in: Proc. of the 2015 IEEE Conference on Decision and Control (CDC), Osaka, Japan, 2015, pp. 6718-6723, <https://doi.org/10.1109/CDC.2015.7403277>
- [2] Zhou, X., Liu, R., Zhang, J., Zhang, X., Stabilization of a quadrotor with uncertain suspended load using sliding mode control, in: Proc. of the International Design Engineering Technical Conferences and Computers and Information in Engineering Conference, Charlotte, NC, USA, 2016; American Society of Mechanical Engineers: New York, NY, USA, 2016; Volume 50152, <https://doi.org/10.1115/DETC2016-60060>
- [3] Yi, K., Liang, X., He, Y., Yang, L., Han, J., Active-model-based control for the quadrotor carrying a changed slung load, *Electronics* 8(4) (2019) 461, <https://doi.org/10.3390/electronics8040461>
- [4] Yu, G., Xie, W., Cabecinhas, D., Cunha, R., Silvestre, C., Adaptive control with unknown mass estimation for a quadrotor-slung-load system, *ISA Trans.* 133 (2023) 412-423, <https://doi.org/10.1016/j.isatra.2022.06.036>
- [5] Liang, X., Fang, Y., Sun, N., Lin, H., Dynamics analysis and time-optimal motion planning for unmanned quadrotor transportation systems, *Mechatronics* 50 (2018), 50, 16-29, <https://doi.org/10.1016/j.mechatronics.2018.01.009>
- [6] Huo, X., Chen, J., Liu, Q., He, X., Vibration elimination for quadrotor slung system based on input shaping and double closed-loop control, in: Proc. of the Asian Control Conference (ASCC), Kitakyushu, Japan, June 2019, pp. 492-497.
- [7] Kusznir, T., Smoczek, J., Sliding mode-based control of a UAV quadrotor for suppressing the cable-suspended payload vibration, *J. Control Sci. Eng.* 2020 (2020) 5058039, <https://doi.org/10.1155/2020/5058039>
- [8] Slabber, J., Jordaan, H.W., Vision-Based Control of an Unknown Suspended Payload with a Multirotor, in: Proc. of the IEEE/RSJ International Conference on Intelligent Robots and Systems (IROS), Prague, Czech Republic, 2021, pp. 4875-4880, <https://doi.org/10.1109/IROS51168.2021.9636648>
- [9] Wang, T., Zhou, J., Wu, Z., Liu, R., Zhang, J., Liang, Y., A Time-Varying PD Sliding Mode Control Method for the Container Crane Based on a Radial-Spring Damper, *Electronics* 11 (2022) 3543, <https://doi.org/10.3390/electronics11213543>

- [10] How, J.P., Behihke, B., Frank, A., Dale, D., Vian, J., Realtime indoor autonomous vehicle test environment, *IEEE Control Syst.* 28(2) (2008), 51-64, <https://doi.org/10.1109/MCS.2007.914691>